

## ТРЕУГОЛЬНЫЕ АНТИФЕРРОМАГНЕТИКИ СО СЛОИСТОЙ СТРУКТУРОЙ В ОДНОРОДНОМ ПОЛЕ

Р. С. Гехт, И. Н. Бондаренко

Институт физики им. Л. В. Киренского  
Сибирского отделения Российской академии наук  
660036, Красноярск, Россия

Поступила в редакцию 24 апреля 1996 г.

Исследуются магнитные состояния и фазовые переходы в слоистых треугольных антиферромагнетиках. Показано, что в соединениях типа  $VBr_2$ ,  $VCl_2$  квантовые эффекты меняют структуру основного состояния и вызывают при повышении магнитного поля последовательные переходы. Установлено, что планарные структуры с различной спиновой конфигурацией реализуются вдали от поля насыщения, а непланарная структура зонтичного типа — вблизи этого поля. Построена фазовая диаграмма основного состояния и указана конечная область полей, где коллинеарная фаза также возможна.

### 1. ВВЕДЕНИЕ

Спиновые системы на треугольных решетках широко исследуются в настоящее время [1–7]. Хорошо известно, что из-за эффектов фрустраций даже системы с чрезвычайно простым основным взаимодействием проявляют богатое разнообразие фаз и фазовых переходов. В галогидных соединениях  $3d$ -переходных металлов  $VX_2$  с кристаллической структурой  $CdI_2$  (пространственная группа  $P\bar{3}m1$ ) магнитные ионы лежат в треугольных слоях, перпендикулярных оси  $c$ , а сами слои образуют гексагональную решетку в направлении  $c$  [8]. Согласно нейтронографическим данным [9, 10], в таких веществах как  $VX_2$  ( $X = Br, Cl$ ) взаимодействия внутри и между слоями антиферромагнитные. Ниже температуры перехода  $T_N$  меньшей 40 К спины в слое образуют 120-градусную структуру, которая не меняется вплоть до самых низких температур [11, 12, 6]. Системы  $VX_2$  можно описывать гейзенберговскими спинами:  $g$ -фактор ионов ванадия в пределах точности резонансных измерений [13] изотропен.

Магнитное поле во фрустрированных системах вызывает много интересных эффектов (см., например, [14]). Часто эти эффекты можно объяснить с классических позиций. Однако в системах с нетривиальным непрерывным вырождением существенно влияние квантовых флуктуаций [5]. Последние могут не только снять имеющееся вырождение, но и могут в результате конкуренции с другими взаимодействиями изменить сам характер структуры.

Задача данной работы — исследование возможных структур в соединениях типа  $VBr_2$ ,  $VCl_2$ . В обычных треугольных антиферромагнетиках квантовые флуктуации не меняют во внешнем магнитном поле состояние с непланарной спиновой конфигурацией. В соединениях же типа  $VX_2$ , где соседние слои  $V^{2+}$  разделены двумя слоями  $X^-$ , межплоскостной обмен  $J'$  на два порядка меньше внутриплоскостного  $J$  [9, 10] и потому энергия нулевых колебаний может превысить энергию взаимодействия между слоями. В результате непланарное состояние меняется на планарное, причем сама планарная

конфигурация с возрастанием поля также меняется (возможны четыре планарные и одна коллинеарная фазы при фазовых переходах по полю). Рассматриваемая здесь задача описывается следующим гамильтонианом:

$$\mathcal{H} = 2J \sum_{\langle ij \rangle n} \mathbf{S}_{in} \mathbf{S}_{jn} + 2J' \sum_{in} \mathbf{S}_{in} \mathbf{S}_{in+1} - \mu H \sum_{in} \mathbf{S}_{in}, \quad (1)$$

где суммирование по  $\langle i, j \rangle$  проводится по всем ближайшим парам в  $n$ -ом слое; ниже мы будем считать, что поле приложено вдоль оси  $c$  (ось  $z$ ).

В чисто двумерных гейзенберговских системах ( $J' = 0$ ) спиновые структуры с минимальной энергией удовлетворяют условию

$$\mathbf{S}_1 + \mathbf{S}_2 + \mathbf{S}_3 = \frac{\mu H}{6J}, \quad (2)$$

где  $\mathbf{S}_i$  — спин  $i$ -ой подрешетки. В сферической системе координат ( $S^\pm = S \sin \theta \exp(\pm i\varphi)$ ,  $S^z = S \cos \theta$ ) решение для углов наклона в (2) можно выразить следующим образом:

$$\cos \theta_3 = 3h - \cos \theta_2 - \cos \theta_1,$$

$$\operatorname{tg} \varphi_3 = \frac{\sin \theta_1 \sin \varphi_1 + \sin \theta_2 \sin \varphi_2}{\sin \theta_1 \cos \varphi_1 + \sin \theta_2 \cos \varphi_2}, \quad (3)$$

$$\cos \theta_2 = \frac{(3h - \cos \theta_1)/2 + R \sin \theta_1 \cos(\varphi_1 - \varphi_2)}{1 - u},$$

где

$$h = \frac{\mu H}{18JS}, \quad R = \left[ \Delta(1 - u) - \frac{1}{4} \right]^{1/2},$$

$$\Delta = (9h^2 - 6h \cos \theta_1 + 1)^{-1}, \quad u = \Delta \sin^2 \theta_1 \sin^2(\varphi_1 - \varphi_2).$$

Очевидно, что система с планарной или непланарной конфигурацией спинов имеет нетривиальное вырождение: при  $h < 1/3$  угол  $\theta_1$  (наряду с  $\varphi_1$  и  $\varphi_2$ ) произволен, а углы  $\theta_2$  и  $\theta_3$  изменяются неэквивалентным образом. При  $h > 1/3$  произвольные значения  $\theta_1$  ограничены определенным интервалом: значения  $\theta_1$  вокруг  $\pi$  запрещены, причем запрещенная область с ростом  $h$  увеличивается до тех пор, пока все спины не будут ориентированы вдоль поля при  $h = 1$ .

Межплоскостное взаимодействие и квантовые флуктуации снимают непрерывное вырождение структур. Так, при конечных  $J'$  из всех возможных ранее планарных (например, когда в (3)  $\varphi_a = \pm \pi/2$ ) и непланарных структур наименьшей энергией обладают те, у которых поперечные к полю спиновые компоненты образуют 120-градусную структуру. В то же время известно [15], что в чисто двумерных треугольных антиферромагнетиках квантовые флуктуации, наоборот, из всех возможных вырожденных состояний отбирают состояния с планарной конфигурацией спинов. Ниже мы покажем, что при малых  $J'$  разность в энергии между различными состояниями также мала и может быть скомпенсирована за счет квантовых эффектов.

## 2. СПИНОВЫЕ КОНФИГУРАЦИИ

В треугольных магнетиках с антиферромагнитным взаимодействием между слоями основное состояние состоит из шести подрешеток. Энергия шестиподрешеточных структур с  $N$  спинами на узлах записывается при больших  $S$  в виде

$$\frac{E_0}{N} = J \sum_{\alpha > \beta} \mathbf{S}_\alpha \mathbf{S}_\beta + \frac{2}{3} J' \sum_{\alpha} \mathbf{S}_\alpha \mathbf{S}_{\alpha+3} - \frac{1}{6} \mu H \sum_{\alpha} S_\alpha^z. \quad (4)$$

Уравнения для равновесного состояния

$$\frac{\partial E_0}{\partial \theta_\alpha} = 0, \quad \frac{\partial E_0}{\partial \varphi_\alpha} = 0 \quad (5)$$

имеют решения с планарной и непланарной конфигурацией спинов. Рассмотрим в качестве основного состояния девять возможных структур: одну с непланарной конфигурацией, семь с планарной и одно коллинеарное состояние (рис. 1).

1. Неplanарная структура зонтичного типа (конфигурация  $a$  на рис. 1). Углы наклона подрешеток и ее энергия даются соответственно в виде

$$\theta_\alpha = \theta, \quad \varphi_\alpha = \begin{cases} 2(\alpha - 1)\pi/3, & \alpha = 1, 2, 3; \\ (2\alpha - 5)\pi/3, & \alpha = 4, 5, 6, \end{cases} \quad (6)$$

$$\frac{E_0}{N} = -(3J + 2J')S^2 + (9J + 4J')S^2 \cos^2 \theta - \mu HS \cos \theta. \quad (7)$$

Подставляя в (7) равновесное решение  $\cos \theta = H/H_s$ , где поле насыщения  $H_s = (18J + 8J')S/\mu$ , получаем  $E_0 = E_*$ :

$$\frac{E_*}{N} = -(3J + 2J')S^2 - \frac{1}{2} \mu S H_s h^2, \quad h = \frac{H}{H_s}. \quad (8)$$

2. Планарная конфигурация  $b$ . При вычислении энергии планарных структур положим здесь и ниже  $\varphi_\alpha = 0$ , а  $\theta_\alpha$  возьмем в интервале от  $-\pi$  до  $\pi$ . Тогда для структуры  $b$  имеем  $\theta_1 = \theta_6 = \pi$ ,  $\theta_2 = \theta_4 = -\theta_3 = -\theta_5 = \theta$ . Классическая энергия такой конфигурации

$$\frac{E_0}{N} = 2 \left( J + \frac{J'}{3} \right) (\cos 2\theta - 2 \cos \theta) S^2 + \frac{1}{3} \mu HS (1 - 2 \cos \theta). \quad (9)$$

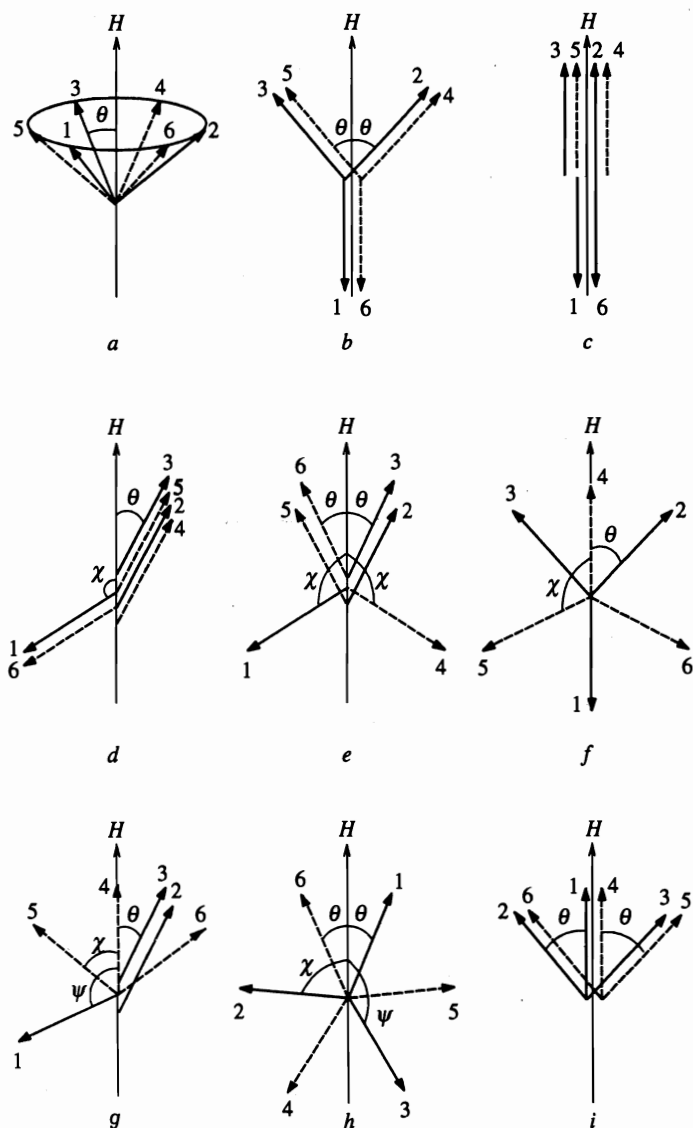
Угол наклона подрешеток относительно поля и минимальная энергия в линейном приближении по  $j = J'/J (\ll 1)$  даются следующим образом:

$$\cos \theta = \frac{\mu H + 2(3 + j)JS}{4(3 + j)JS}, \quad (10)$$

$$E_0 = E_* + j(1 - h^2)JS^2N. \quad (11)$$

Такой же энергией обладает и структура, образованная при циклической перестановке подрешеток конфигурации  $b$  на рис. 1 ( $4 \rightarrow 6$ ,  $5 \rightarrow 4$ ,  $6 \rightarrow 5$ ). Однако при других возможных перестановках подрешеток структуры с конфигурацией типа  $b$  имеют в угловом интервале от нуля до  $\pi/3$  большую энергию. Так, для структур с параллельными подрешетками 1 и 6, 2 и 5, 3 и 4 (или 1 и 5, 2 и 4, 3 и 6) имеем

$$E_0 = E_* + 2(1 + h)(1 - 2h)jJS^2N,$$



**Рис. 1.** Спиновые конфигурации треугольных антиферромагнетиков со слоистой структурой во внешнем магнитном поле  $H$ : *a* — непланарная конфигурация зонтичного типа; *b, d, e, f, g, h, i* — планарные конфигурации; *c* — коллинеарная фаза. Стрелки со сплошными и штриховыми линиями соответствуют направлениям спинов в двух различного типа слоях

*a* для структуры, где параллельны 1 и 4, 2 и 6, 3 и 5:

$$E_0 = E_* + 2(1 + h)^2 j JS^2 N.$$

Наибольшая энергия в этом классе конфигураций будет, естественно, у структуры, у которой направления спинов в соседних слоях гексагональной решетки совпадают: при

параллельных 1 и 4, 2 и 5, 3 и 6 разность  $E_0 - E_*$  в четыре раза больше разности в (11).

3. Коллинеарная структура  $c$ :  $\theta_1 = \theta_6 = \pi$ ,  $\theta_2 = \theta_3 = \theta_4 = \theta_5 = 0$ . Ее энергия при больших  $S$  дается в виде

$$E_0 = E_* + \left[ (1 - 3h)^2 + \frac{4}{3}j(1 - 2h + 3h^2) \right] JS^2N. \quad (12)$$

Аналогичное выражение и для структуры, образованной при перестановке подрешеток 6 и 5. Энергия же другой структуры (перестановка подрешеток 6 и 4) больше (12) на величину  $8jJS^2N/3$ .

4. Планарная конфигурация  $d$ :  $\theta_1 = \theta_6 = \chi$ ,  $\theta_2 = \theta_3 = \theta_4 = \theta_5 = \theta$ . Классическая энергия данной структуры

$$\frac{E_0}{N} = 2 \left( J + \frac{J'}{3} \right) S^2 [1 + 2 \cos(\theta + \chi)] - \frac{1}{3} \mu HS (\cos \chi + 2 \cos \theta). \quad (13)$$

Из условия равновесия  $\partial E_0 / \partial \theta = 0$ ,  $\partial E_0 / \partial \chi = 0$  получаем

$$\begin{aligned} (3 + j) \sin(\theta + \chi) - (9 + 4j)h \sin \theta &= 0, \\ 2(3 + j) \sin(\theta + \chi) - (9 + 4j)h \sin \chi &= 0. \end{aligned} \quad (14)$$

Решение этих уравнений имеет следующий вид:

$$\cos \theta = \frac{3}{4}hk + \frac{1}{4hk}, \quad \cos \chi = \frac{3}{2}hk - \frac{1}{2hk}, \quad (15)$$

где  $k = (9 + 4j)/(9 + 3j)$ . Подставляя (15) в (13) и ограничиваясь линейным приближением по  $j$ , получаем выражение для  $E_0$ , совпадающее с (11). Данное состояние вырождено относительно перестановки подрешеток 6 и 5. Однако при перестановке подрешеток 6 и 4 разность  $E_0 - E_*$  возрастает в четыре раза.

5. Планарная конфигурация  $e$ :  $\theta_1 = -\theta_4 = -\chi$ ,  $\theta_2 = \theta_3 = -\theta_5 = -\theta_6 = \theta$ . Ее энергия дается в виде

$$\frac{E_0}{N} = 2JS^2 [1 + 2 \cos(\theta + \chi)] + \frac{2}{3}J'(\cos 2\chi + 2 \cos 2\theta) - \frac{1}{3} \mu HS (\cos \chi + 2 \cos \theta). \quad (16)$$

Равновесные значения  $\theta$  и  $\chi$  находятся из уравнений

$$\begin{aligned} 3 \sin(\theta + \chi) - (9 + 4j)h \sin \theta + 2j \sin 2\theta &= 0, \\ 6 \sin(\theta + \chi) - (9 + 4j)h \sin \theta + 2j \sin 2\chi &= 0, \end{aligned} \quad (17)$$

решение которых в линейном приближении по  $j$  имеет следующий вид:

$$\begin{aligned} \cos \theta &= \frac{3}{4}h + \frac{1}{4h} + j \frac{(1 - h^2)(3h^2 - 1)}{18h^3}, \\ \cos \chi &= \frac{3}{2}h - \frac{1}{2h} + j \frac{(1 - h^2)(7 - 3h^2)}{18h^3}. \end{aligned} \quad (18)$$

Минимальная энергия  $e$ -конфигурации

$$E_0 = E_* + \frac{(1 - h^2)^2}{2h^2} j JS^2N. \quad (19)$$

Две другие возможные структуры в классе конфигураций  $e$  вырождены, а их энергия

$$E_0 = E_* + \frac{(1 - h^2)(13h^2 - 1)}{4h^2} j JS^2 N$$

выше либо  $E_0$  в (19), либо энергии планарной конфигурации  $d$ .

Энергия структур  $b, c, d$  и  $e$  больше энергии непланарной структуры  $a$  при всех значениях  $H < H_s$ . Сравнение же энергий планарных структур между собой показывает, что конфигурация  $b$  имеет меньшую энергию, если  $h < 1/3 - 2j/27$ , скошенная структура  $d$  — если  $h$  лежит в интервале  $[1/3, 1/\sqrt{3}]$ , а конфигурация  $e$  — при  $h > 1/\sqrt{3}$ . Коллинеарная структура  $c$  при  $j \neq 0$  также имеет конечный полевой интервал  $[1/3, (1 - 2j/9)/3]$ , в котором она среди конфигураций  $b, d$  и  $e$  наиболее предпочтительна.

6. Планарная конфигурация  $f$  (структура типа шестилучевой звезды, рис. 1f):  $\theta_1 = \pi, \theta_2 = -\theta_3 = \theta, \theta_4 = 0, \theta_5 = -\theta_6 = \chi$ . В этом состоянии для классической энергии имеем

$$\begin{aligned} \frac{E_0}{N} = JS^2(\cos 2\theta + \cos 2\chi) - \left(2JS^2 + \frac{\mu HS}{3}\right) \cos \theta + \\ + \left(2JS^2 - \frac{\mu HS}{3}\right) \cos \chi - \frac{2}{3} J' S^2 [1 - 2 \cos(\theta + \chi)]. \end{aligned} \quad (20)$$

Минимизируя относительно углов  $\theta$  и  $\chi$ , получаем

$$\cos \theta = \frac{3h + 1}{2} - \frac{1}{3} j h, \quad \cos \chi = \frac{3h - 1}{2} - \frac{1}{3} j h. \quad (21)$$

Так что минимальная энергия  $f$ -конфигурации при малых  $j$  дается в виде

$$E_0 = E_* + j \left\{ 1 - h^2 - [(1 - h^2)(1 - 9h^2)]^{1/2} \right\} JS^2 N. \quad (22)$$

Разность между этой энергией и энергией зонтичной структуры  $a$  положительна при  $H > 0$ , однако  $E_0$  в (22) меньше энергии  $b$ -конфигурации (11) и в отличие от нее совпадает при  $H = 0$  с энергией непланарной структуры  $E_*$ . В области слабых полей ( $h \ll 1$ )

$$E_0 \simeq E_* + j(4h^2 + 8h^4)JS^2 N. \quad (23)$$

7. Планарная конфигурация  $g$ :  $\theta_1 = \psi, \theta_2 = \theta_3 = \theta, \theta_4 = 0, \theta_5 = -\theta_6 = \chi$ ; ее энергия при больших  $S$

$$\begin{aligned} \frac{E_0}{N} = 2JS^2 [\cos \chi + \cos^2 \chi + \cos(\theta + \psi)] + \frac{2}{3} J' S^2 (\cos \psi + 2 \cos \chi \cos \theta) - \\ - \frac{1}{6} \mu HS (1 + \cos \psi + 2 \cos \theta + 2 \cos \chi). \end{aligned} \quad (24)$$

При  $j = 0$  равновесные решения для углов совпадают с соответствующими решениями в (19) и (21). Минимальная энергия  $g$ -конфигурации дается следующим образом:

$$E_0 = E_* + j \frac{(1 - h^2)(5h - 1)}{2h} JS^2 N. \quad (25)$$

Отметим, что данная конфигурация вырождена относительно изменения угла между двумя плоскостями, в одной из которых лежат спины подрешеток 1, 2, 3, а в другой — 4, 5, 6.

Другие структуры, образуемые при различных перестановках подрешеток 4, 5, 6 на рис. 1g, имеют одну и ту же энергию

$$E_0 = E_* + j \frac{1-h}{4h} \left[ (1+h)(7h+1) + (3h+1)\sqrt{3(1+h)(3h-1)} \right] JS^2 N;$$

в данном классе конфигураций эта энергия больше, чем  $E_0$  в (25).

8. Планарная конфигурация  $h$ :  $\theta_1 = -\theta_6 = \theta$ ,  $\theta_5 = -\theta_2 = \chi$ ,  $\theta_3 = -\theta_4 = \psi$ ; энергия данной структуры

$$\begin{aligned} \frac{E_0}{N} = 2 \left\{ JS^2 [\cos(\theta + \chi) + \cos(\psi - \theta) + \cos(\chi + \psi)] + \right. \\ \left. + \frac{1}{3} J' S^2 [2 \cos(\theta + \psi) + \cos 2\chi] - \frac{1}{6} \mu H S (\cos \theta + \cos \chi + \cos \psi) \right\}. \end{aligned} \quad (26)$$

При  $J' = 0$  структура вырождена относительно изменения угла  $\psi$ , а два других угла даются в зависимости от  $\psi$  следующим образом:

$$\begin{aligned} \cos \theta &= \frac{1}{12} \frac{\mu H}{JS} - \frac{1}{2} \cos \psi + R \sin \psi, \\ \sin \theta &= -\frac{1}{2} \sin \psi + R \left( \frac{1}{6} \frac{\mu H}{JS} - \cos \psi \right), \\ \cos \chi &= \frac{1}{12} \frac{\mu H}{JS} - \frac{1}{2} \cos \psi - R \sin \psi, \\ \sin \chi &= \frac{1}{2} \sin \psi + R \left( \frac{1}{6} \frac{\mu H}{JS} - \cos \psi \right), \end{aligned} \quad (27)$$

где

$$R = \left\{ \left[ \left( \frac{1}{6} \frac{\mu H}{JS} \right)^2 - \frac{1}{3} \frac{\mu H}{JS} \cos \psi + 1 \right]^{-1} - \frac{1}{4} \right\}^{1/2}.$$

При  $J' \neq 0$  минимальная энергия  $h$ -конфигурации определяется варьированием энергии

$$E_0 = E_* + \frac{4}{3} j [1 - 3h^2 + \cos(\theta + \psi) + \cos^2 \chi] JS^2 N \quad (28)$$

относительно угла  $\psi$ . Вблизи  $h = 0$  равновесное значение  $\psi_0$  равно  $5\pi/6$  и, следовательно,  $\theta_0 = \pi/6$ ,  $\chi_0 = \pi/2$ . Поэтому в области слабых полей

$$E_0 \simeq E_* + j (8h^2 - 12\sqrt{3} h^3) JS^2 N. \quad (29)$$

Из сравнения (23) и (29) видно, что при малых  $h$  классическая энергия конфигурации  $f$  меньше ее значения в состоянии с конфигурацией на рис. 1h ( $P$ -состояние [16]).

Однако вследствие отрицательного знака при члене с  $h^3$  в (29) энергия данной конфигурации может быть меньше энергии  $f$ -конфигурации. Действительно, при  $h = 1/3$  равновесному значению  $\psi_0$  в (28) соответствует  $2\pi/3$  и из (27) имеем  $\theta_0 = 0$ ,  $\chi_0 = \pi/3$ . В результате, сравнивая (22) и (28), получаем, что энергия  $h$ -конфигурации меньше энергии  $f$ -конфигурации на величину  $jJS^2N/3$ .

Отметим, что при  $h > 1/3$  состояние, при котором подрешетки 1 и 6 на рис. 1*h* параллельны, не соответствует равновесному. Вместо этого в качестве равновесного состояния возможно состояние, представленное на рис. 1*i*, где угол  $\theta \leq \pi/2$ .

9. Планарная конфигурация  $i$ :  $\theta_1 = \theta_4 = 0$ ,  $\theta_3 = \theta_5 = -\theta_2 = -\theta_6 = \theta$ . Ее энергия записывается в виде

$$\frac{E_0}{N} = \frac{2}{3}J'S^2 - \frac{1}{3}\mu HS + \left(4JS^2 - \frac{2}{3}\mu HS\right) \cos \theta + \left(2J + \frac{4}{3}J'\right) S^2 \cos 2\theta. \quad (30)$$

Равновесное значение для угла наклона подрешеток:

$$\cos \theta = \frac{\mu H - 6JS}{4(3 + 2j)JS}, \quad (31)$$

так что для минимальной энергии конфигурации  $i$  имеем

$$E_0 = E_* + 2(1 - h)^2 j JS^2 N. \quad (32)$$

В работе Раstellи и Тасси [16] указано, что при  $\theta < \pi/2$  данное состояние ( $SF$ -состояние по терминологии авторов) может быть устойчивым в классике при наличии конечной анизотропии типа легкая ось.

Отметим, что при  $\theta > \pi/2$  перестановка подрешеток 4 и 6 приводит к конфигурации, обратной конфигурации  $b$ , где  $H$  заменено на  $-H$ , а ее энергия совпадает с выражением (11). Структуры, образованные другими перестановками подрешеток, обладают в этом классе конфигураций большей энергией по сравнению с конфигурациями  $i$  и обратной  $b$ .

Таким образом, при  $j \neq 0$  различные структуры имеют разную энергию и наибольший выигрыш достигается для непланарной конфигурации  $a$ . Тем не менее мы ожидаем, что при  $j \ll 1$  квантовые поправки изменят тонкий баланс полной энергии в пользу планарных структур (по крайней мере, вдали от поля перехода в однородное состояние).

### 3. МАГНИТНЫЕ ПЕРЕХОДЫ

Рассмотрим влияние квантовых флуктуаций на основное состояние систем во внешнем поле  $H$ . Перейдем в локальную систему координат  $(\xi, \eta, \zeta)$ , в которой ось квантования (ось  $z$ ) выбрана вдоль направления спина

$$\begin{aligned} S_{in}^x &= -S_{in}^\xi \sin \varphi_{in} - S_{in}^\eta \cos \theta_{in} \cos \varphi_{in} + S_{in}^\zeta \sin \theta_{in} \cos \varphi_{in}, \\ S_{in}^y &= S_{in}^\xi \cos \varphi_{in} - S_{in}^\eta \cos \theta_{in} \sin \varphi_{in} + S_{in}^\zeta \sin \theta_{in} \sin \varphi_{in}, \end{aligned} \quad (33)$$

$$S_{in}^z = S_{in}^\eta \sin \theta_{in} + S_{in}^\xi \cos \theta_{in},$$

а  $\theta_{in}$  и  $\varphi_{in}$  совпадают с углами наклона подрешеток девяти ранее найденных в пределе больших  $S$  структур. Для описания спиновых отклонений от равновесных классических состояний введем шесть типов бозевских операторов  $a_{k\alpha}$ :

$$a_{in} = \sqrt{\frac{6}{N}} \sum_k a_{k\alpha} \exp(i\mathbf{k}\mathbf{r}_{in}),$$

где волновой вектор  $\mathbf{k}$  для каждой из подрешеток  $\alpha$  лежит в первой зоне Бриллюэна. Ниже мы ограничимся кубическим приближением по  $a_{in}$ :

$$\begin{aligned} S_{in}^\xi &= S - a_{in}^+ a_{in}, & S_{in}^\xi + iS_{in}^\eta &= \sqrt{2S} \left( 1 - \frac{a_{in}^+ a_{in}}{4S} \right) a_{in}, \\ S_{in}^\xi - iS_{in}^\eta &= \sqrt{2S} a_{in}^+ \left( 1 - \frac{a_{in}^+ a_{in}}{4S} \right), \end{aligned} \quad (34)$$

так что исходный гамильтониан представляется в виде

$$\mathcal{H} = E_0 + \mathcal{H}^{(1)} + \mathcal{H}^{(2)} + \mathcal{H}^{(3)}. \quad (35)$$

Линейный член в  $\mathcal{H}$  дается следующим образом:

$$\mathcal{H}^{(1)} = -\frac{S}{2} \sqrt{\frac{SN}{3}} \sum_\alpha \left( \sum_\beta A_{\alpha\beta}(0) - i \frac{\mu H}{S} \sin \theta_\alpha \right) a_{0\alpha} + \text{H.c.}, \quad (36)$$

где

$$A_{\alpha\beta}(\mathbf{k}) = 2J_{\alpha\beta}(\mathbf{k}) \{ \sin \theta_\beta \sin(\varphi_\alpha - \varphi_\beta) + i [\sin \theta_\alpha \cos \theta_\beta - \cos \theta_\alpha \sin \theta_\beta \cos(\varphi_\alpha - \varphi_\beta)] \} \quad (37)$$

и  $J_{\alpha\beta}(\mathbf{k})$  — компоненты Фурье обменных взаимодействий между спинами различных подрешеток:

$$J_{\alpha\beta}(\mathbf{k}) = \sum_{m-n} J_{m\alpha, n\beta} \exp(i\mathbf{k}\mathbf{r}_{m\alpha, n\beta}).$$

При  $\mathbf{k} = 0$

$$\sum_\beta A_{\alpha\beta}(0) - i \frac{\mu H}{S} \sin \theta_\alpha = \frac{6}{NS^2} \left( \frac{1}{\sin \theta_\alpha} \frac{\partial E_0}{\partial \varphi_\alpha} + i \frac{\partial E_0}{\partial \theta_\alpha} \right)$$

и, как и должно быть,  $\mathcal{H}^{(1)}$  обращается в нуль для равновесных конфигураций.

При диагонализации квадратичного члена  $\mathcal{H}^{(2)}$  положим  $j = 0$ . Затем сравним энергию нулевых колебаний различных конфигураций с энергией структур за счет малых  $j$ . Выражение для  $\mathcal{H}^{(2)}$  дается следующим образом:

$$\mathcal{H}^{(2)} = -3JSN + 3JS \sum_k \alpha_k^+ M_k \alpha_k, \quad (38)$$

где  $\alpha_k^+ = (a_{k_1}^+, a_{k_2}^+, \dots, a_{k_6}^+, a_{-k_1}, a_{-k_2}, \dots, a_{-k_6})$  и

$$M_k = \begin{pmatrix} e(\mathbf{k}) & f(\mathbf{k}) \\ f^*(-\mathbf{k}) & e^*(-\mathbf{k}) \end{pmatrix}.$$

Диагональные элементы  $6 \times 6$ -матриц  $e(\mathbf{k})$  и  $f(\mathbf{k})$  равны соответственно единице и нулю, а отличные от нуля недиагональные элементы представляются в виде

$$\begin{aligned} e_{\alpha\beta}(\mathbf{k}) &= e_{\beta\alpha}^*(\mathbf{k}) = B_{\alpha\beta}^{(+)}(\mathbf{k}), \\ f_{\alpha\beta}(\mathbf{k}) &= f_{\beta\alpha}^*(\mathbf{k}) = B_{\alpha\beta}^{(-)}(\mathbf{k}), \end{aligned} \quad (39)$$

где

$$B_{\alpha\beta}^{(\pm)}(\mathbf{k}) = \frac{1}{2} \nu_k [(1 \pm \cos \theta_\alpha \cos \theta_\beta) \cos(\varphi_\alpha - \varphi_\beta) \pm \sin \theta_\alpha \sin \theta_\beta - i(\cos \theta_\alpha + \cos \theta_\beta) \sin(\varphi_\alpha - \varphi_\beta)]$$

и

$$\nu_k = \frac{1}{3} \left[ \exp(ik_x) + \exp\left(i \frac{-k_x + \sqrt{3} k_y}{2}\right) + \exp\left(i \frac{-k_x - \sqrt{3} k_y}{2}\right) \right]; \quad (40)$$

индексы  $\alpha, \beta$  равны либо 1, 2, 3, либо 4, 5, 6. Остальные элементы типа  $e_{\alpha, \alpha \pm 3}, f_{\alpha, \alpha \pm 3}$  равны нулю.

Спин-волновой спектр в энергии нулевых колебаний

$$E^{(2)} = -3JSN + \frac{1}{2} S \sum_{k\alpha} \omega_\alpha(\mathbf{k}) \quad (41)$$

находился аналитически и численно. Для непланарной конфигурации  $a$  он дается следующим образом ( $\varepsilon_\alpha = \omega_\alpha/6J$ ):

$$\varepsilon_\alpha(\mathbf{k}) = \varepsilon_{\alpha+3}(\mathbf{k}) = \left\{ (1 - \lambda_\alpha(\mathbf{k})) [1 + (2 - 3h^2)\lambda_\alpha(\mathbf{k})] \right\}^{1/2} - \sqrt{3} h \mu_\alpha(\mathbf{k}), \quad (42)$$

где

$$\begin{aligned} \lambda_\alpha(\mathbf{k}) &= \frac{1}{3} \left\{ \cos \left[ k_x + \frac{2\pi}{3}(\alpha - 1) \right] + 2 \cos \left[ \frac{k_x}{2} - \frac{2\pi}{3}(\alpha - 1) \right] \cos \frac{\sqrt{3}}{2} k_y \right\}, \\ \mu_\alpha(\mathbf{k}) &= \frac{1}{3} \left\{ \sin \left[ k_x + \frac{2\pi}{3}(\alpha - 1) \right] - 2 \sin \left[ \frac{k_x}{2} - \frac{2\pi}{3}(\alpha - 1) \right] \cos \frac{\sqrt{3}}{2} k_y \right\}. \end{aligned}$$

В нулевом поле один и тот же для всех структур частотный спектр  $\varepsilon(\mathbf{k})$  находится при решении уравнения

$$\varepsilon^6 + 3(|\nu_k|^2 - 1)\varepsilon^4 + \frac{3}{4} P_k \varepsilon^2 + Q_k = 0, \quad (43)$$

$$P_k = 9|\nu_k|^4 + 3(\nu_k^3 + \nu_k^{*3}) + 27|\nu_k|^2 + 4,$$

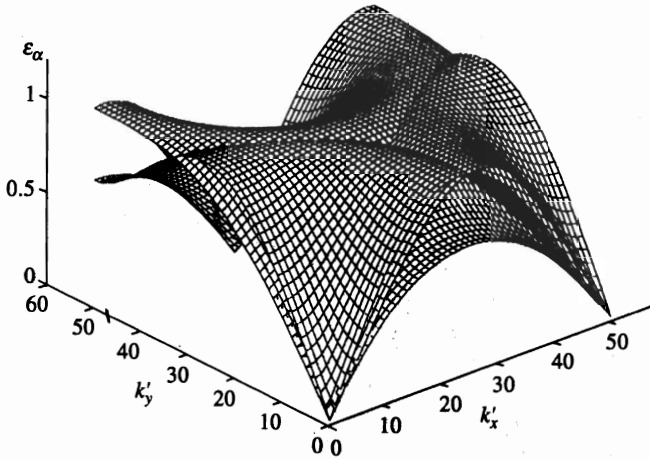


Рис. 2. Энергетический спектр спиновых конфигураций  $\varepsilon_\alpha(\mathbf{k})$  в нулевом магнитном поле ( $k_x = 4\pi\bar{k}_x/3 \cdot 50$ ,  $k_y = 2\pi\bar{k}_y/50 \cdot \sqrt{3}$ ). В точках  $\mathbf{k} = (2\pi/3, 2\pi/\sqrt{3})$  и  $\mathbf{k} = (0, 4\pi/3\sqrt{3})$   $\varepsilon_\alpha = 1$ ;

$$Q_k = \frac{1}{3}(\nu_k^3 + \nu_k^{*3})(\nu_k^3 + \nu_k^{*3} + 3|\nu_k|^2 - 7) - \frac{9}{4}|\nu_k|^4 + \frac{15}{4}|\nu_k|^2 - 1.$$

Положительные значения корней полинома (43) представлены на рис. 2. Видно, что три поверхности  $\varepsilon_\alpha$  имеют общие точки пересечений. Трехкратное вырождение  $\varepsilon_\alpha^* = 1$  (в  $V\Gamma_2$   $J = 16$  К [17,9], что соответствует частоте  $\omega = 2.2$  ТГц) возникает при  $\mathbf{k} = (2\pi/3, 2\pi/3\sqrt{3})$ , а также при  $\mathbf{k} = (0, 4\pi/3\sqrt{3})$ . В плоскости среза ( $k_x = 0$ ), где лежит последняя точка трехкратного вырождения, лежит и линия пересечения двух поверхностей.

В ненулевом поле линии пересечения — прямые при  $H = 0$  — искривляются. Однако трехкратное вырождение спектра остается при тех же  $\mathbf{k}$  и при том же значении  $\varepsilon_\alpha^* = 1$ . Данное обстоятельство имеет место не только для конфигурации зонтичного типа, но и для всех планарных конфигураций. На рис. 3 показан для сравнения спектр  $\varepsilon_\alpha = \varepsilon_{\alpha+3}$  ( $\alpha = 1, 2, 3$ ) конфигураций  $a$  и  $b$  при  $H = 0.3H_s$ . Видно, что нижняя ветвь  $b$ -конфигурации везде, за исключением симметричных точек зоны Бриллюэна, ниже соответствующей ветви  $a$ -конфигурации. Кроме того, в большей области  $\mathbf{k}$  и вторая ветвь  $b$ -конфигурации лежит ниже соответствующей ветви  $a$ -конфигурации. Подобная ситуация наблюдается при сравнении спектров зонтичной структуры с другими планарными структурами. Поэтому можно ожидать, что энергия нулевых колебаний планарных конфигураций будет меньше непланарной.

Ниже мы вычислили  $1/S$ -поправки к энергии основного состояния для девяти рассматриваемых конфигураций. Представленные на рис. 4 результаты показывают, что кривая зонтичной структуры лежит по энергии выше всех других структур, а квантовые поправки наиболее существенны для конфигураций  $b, d$  и  $e$ . Последние, однако, ни при каких значениях  $H$  не реализуются, если  $jS > 0.082$ . Вместо этого, вследствие конкуренции квантовых эффектов с межплоскостным взаимодействием, в области низких и промежуточных полей устойчивы планарные структуры соответственно  $f$  и  $h$ , а вблизи поля насыщения — зонтичная. Отметим, что возможность существования  $h$ -

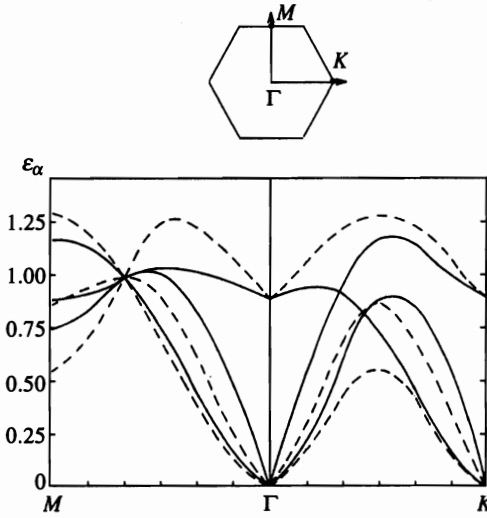


Рис. 3. Энергетический спектр  $\epsilon_\alpha(\mathbf{k})$  конфигураций  $a$  и  $b$  во внешнем поле  $H = 0.3H_c$ . Сплошные линии соответствуют непланарной конфигурации  $a$ , штриховые — планарной конфигурации  $b$

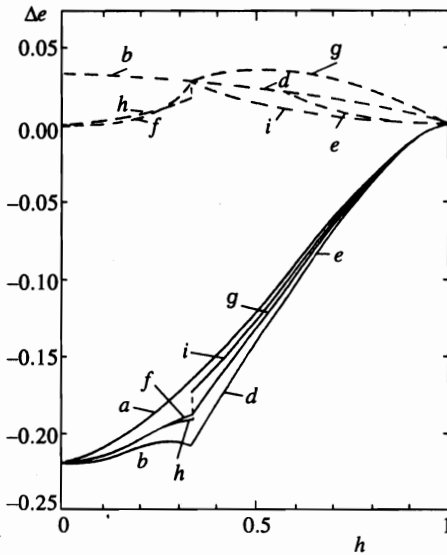


Рис. 4. Квантовые поправки к энергии основного состояния ( $\Delta\epsilon = \Delta E/3JSN$ ) для восьми спиновых конфигураций (сплошные линии) и разность энергий классических структур относительно непланарной конфигурации  $a$  при  $jS = 0.1$  (штриховые линии)

структуры в гейзенберговских системах была указана в [16]. График полной энергии для различных структур при  $jS = 0.1$  приведен на рис. 5. Дополнительные состояния — состояния  $b, d$  и  $e$  — стабилизируются, если  $jS < 0.082$ . С уменьшением  $jS$  область фаз  $f, h$  и  $a$  также уменьшается, и в предельном случае  $jS = 0$  существование данных фаз не должно быть возможным. Как показано Чубуковым и Голосовым [15], в чисто двумерных треугольных антиферромагнетиках квантовые флуктуации выделяют структуры типа  $b$  и  $d$  (или  $e$ ), в промежутке между которыми в конечном интервале  $H$  устойчива коллинеарная фаза.

В ненулевом поле квантовые эффекты и межплоскостное взаимодействие не толь-

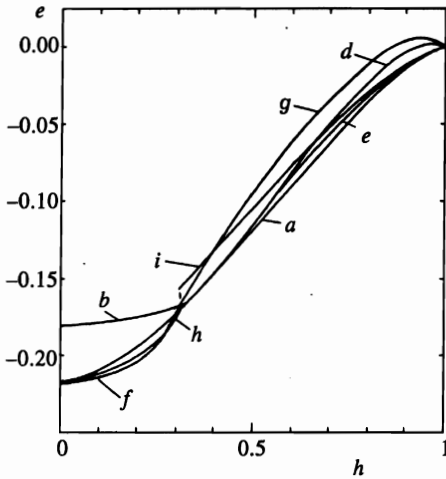


Рис. 5. Полная нормированная энергия  $e = E/3JSN$  основного состояния для восьми спиновых конфигураций при  $jS = 0.1$ . Зависимость  $e$  от  $h$  измерена относительно  $e_* = E_*/3JSN$  непланарной структуры  $\bar{a}$

ко стабилизируют различные классические структуры, но и модифицируют их. Конфигурационные изменения должны быть особенно заметны вблизи критического поля перехода в коллинеарное состояние ( $h = 1/3$ ), где выигрыш энергии за счет квантовых флуктуаций и конечных  $j$  наибольший. Вычислим квантовые поправки к углам наклона равновесных состояний. Кубический член в (35) дается в виде

$$\mathcal{H}^{(3)} = \frac{1}{4} \sqrt{\frac{3S}{N}} \sum_{k_1 k_2 k_3} \delta(\mathbf{k}_1 + \mathbf{k}_2 + \mathbf{k}_3) \left[ \sum_{\alpha} \left( \sum_{\beta} A_{\alpha\beta}(0) - i \frac{\mu H}{S} \sin \theta_{\alpha} \right) a_{k_1\alpha}^+ a_{k_2\alpha} a_{k_1\alpha} + \right. \\ \left. + 4 \sum_{\alpha\beta} A_{\alpha\beta}(\mathbf{k}_1) a_{-k_3\beta}^+ a_{k_2\beta} a_{k_1\alpha} \right] + \text{H.c.} \quad (44)$$

Заменим два из трех операторов в (44) средними значениями и подставим в  $\mathcal{H}^{(3)}$  углы  $\theta_{\alpha}^{(0)}$ ,  $\varphi_{\alpha}^{(0)}$  для равновесных классических конфигураций. В результате имеем

$$\mathcal{H}^{(3)} = \sqrt{\frac{3S}{N}} \sum_{\alpha\beta} \sum_{\mathbf{k}} [A_{\alpha\beta}(\mathbf{k}) \langle a_{\mathbf{k}\beta}^+ a_{\mathbf{k}\alpha} \rangle + A_{\alpha\beta}^*(-\mathbf{k}) \langle a_{\mathbf{k}\beta}^+ a_{-\mathbf{k}\alpha}^+ \rangle + \\ + A_{\beta\alpha}(0) \langle a_{\mathbf{k}\alpha}^+ a_{\mathbf{k}\alpha} \rangle] a_{0\beta} + \text{H.c.} \quad (45)$$

Полагая  $\mathcal{H}^{(1)} + \mathcal{H}^{(3)} = 0$ , получим уравнения для  $\theta_{\alpha}$ ,  $\varphi_{\alpha}$ ; в случае планарных конфигураций они имеют следующий вид:

$$\sum_{\beta} J_{\alpha\beta}(0) \sin(\theta_{\alpha} - \theta_{\beta}) - \frac{\mu H}{2S} \sin \theta_{\alpha} = \frac{1}{S} \sum_{\beta} I_{\alpha\beta} \sin(\theta_{\alpha}^{(0)} - \theta_{\beta}^{(0)}), \quad (46)$$

где

$$I_{\alpha\beta} = \frac{6}{N} \sum_{\mathbf{k}} [J_{\alpha\beta}(0) \langle a_{\mathbf{k}\beta}^+ a_{\mathbf{k}\beta} \rangle + J_{\alpha\beta}^*(\mathbf{k}) (\langle a_{\mathbf{k}\alpha}^+ a_{-\mathbf{k}\beta}^+ \rangle - \langle a_{\mathbf{k}\alpha}^+ a_{\mathbf{k}\beta} \rangle)]. \quad (47)$$

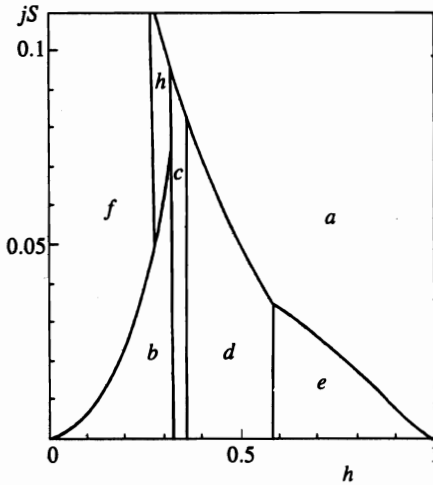


Рис. 6. Фазовая диаграмма  $jS - h$  основного состояния ( $1/S$ -приближение)

Из (46) следует, что в первом порядке по  $1/S$  уравнения для углов наклона в классике заменяются на такие же уравнения, но с перенормированными значениями  $\tilde{J}_{\alpha\beta}(0)$ :

$$\tilde{J}_{\alpha\beta}(0) = J_{\alpha\beta}(0) - \frac{1}{S} J_{\alpha\beta}. \quad (48)$$

Результаты вычислений для угла  $\theta$  в состоянии с конфигурацией  $b$  и для углов  $\theta, \chi$  в состоянии с конфигурацией  $d$  показывают, что коллинеарная структура  $c$  возникает в промежутке между

$$h_2 = \frac{1}{3} - \frac{2}{27}j - \frac{0.018}{S} \quad \text{и} \quad h_3 = \frac{1}{3} + \frac{0.043}{S}. \quad (49)$$

Отсюда видно, что коллинеарная фаза стабилизируется как квантовыми флуктуациями, так и межплоскостным взаимодействием, причем последнее увеличивает полевой интервал данной фазы только в область  $h < 1/3$ . Полная фазовая диаграмма  $jS - h$  представлена на рис. 6. Как и должно быть, при  $jS = 0$  она переходит в фазовую диаграмму для двумерного треугольного антиферромагнетика [15] (конфигурации  $d$  и  $e$  эквивалентны, если  $jS = 0$ ).

Отметим, что в отличие от систем с анизотропией  $\Delta$  легкоплоскостного типа [5] в чисто гейзенберговских квазидвумерных ( $J' \ll J$ ) системах зонтичная конфигурация не реализуется в области слабых полей. Данное обстоятельство связано с тем фактом, что в таких полях разность энергий между конфигурациями  $f$  и  $a$  мала и пропорциональна второй степени  $h$  ( $E_0 - E_* \sim jh^2JS^2N$ ), а в системах с легкоплоскостной анизотропией такая же разность между планарной и непланарной конфигурациями  $a$  имеет конечное значение уже при  $h = 0$  ( $E_0 - E_* \sim \Delta JS^2N$ ). Поэтому в нашем случае квантовые эффекты доминируют в области слабых полей и лишь вблизи поля перехода в однородное состояние, где влияние квантовых флуктуаций мало, а влияние межплоскостной обменной связи, наоборот, сравнительно велико, стабилизируется зонтичная структура.

В соединениях типа  $VX_2$  ионы  $V^{2+}$  имеют спин  $S = 3/2$ , а обменные параметры, например, для  $VBr_2$ :  $J = 16$  К,  $J' = 0.2$  К [9] и, следовательно,  $jS = 0.019$ . Таким

образом, изменение структуры можно ожидать при  $h_1 = 0.18$ ,  $h_2 = 0.31$ ,  $h_3 = 0.36$ ,  $h_4 = 0.58$  и  $h_5 = 0.78$  (рис. 6), что соответствует для  $\text{VBr}_2$  ( $g$ -фактор равен 2) полям  $H_1 = 58$  Тл,  $H_2 = 100$  Тл,  $H_3 = 116$  Тл,  $H_4 = 187$  Тл и  $H_5 = 251$  Тл. Величины  $H$  такого порядка достижимы в установках с импульсными полями [18]. Переход во всех критических точках в отличие от  $h_3$  не является непрерывным. Скачок намагниченности при магнитных переходах дается следующим образом:

$$\begin{aligned} \Delta M_1 &= \frac{1}{3} j h_1 M_0, & \Delta M_2 &= \frac{1}{9} j M_0, \\ \Delta M_4 &= \frac{1}{9} \left( 1 - \frac{1}{\sqrt{3}} \right) j M_0, & \Delta M_5 &= \frac{1}{54} \frac{(1 - h_5^2)(3h_5^2 + 5)}{h_5^3} j M_0, \end{aligned} \quad (50)$$

где  $M_0 = \mu S$  — намагниченность насыщения. Подставляя в (50)  $j$ ,  $h_1$  и  $h_5$ , для  $\text{VBr}_2$  получаем  $\Delta M_1/M_0 = 0.76 \cdot 10^{-3}$ ,  $\Delta M_2/M_0 = 1.4 \cdot 10^{-3}$ ,  $\Delta M_4/M_0 = 0.59 \cdot 10^{-3}$ ,  $\Delta M_5/M_0 = 1.3 \cdot 10^{-3}$ .

Следует отметить, что в некоторых соединениях из семейства  $\text{VX}_2$ , в таких, например, как  $\text{VI}_2$ , имеется заметная анизотропия типа легкая ось. В этом случае фазовая диаграмма может существенно отличаться от представленной на рис. 6: легкоосная анизотропия дополнительно стабилизирует планарные и коллинеарные фазы и дестабилизирует фазы со структурой зонтичного типа. Последняя может исчезнуть полностью при некотором критическом значении анизотропии порядка  $J'$ . Вопрос о влиянии анизотропии в таких системах рассматривался недавно в [16].

Мы исследовали также влияние тепловых флуктуаций на устойчивость структур. Вклад от энтропии в свободную энергию

$$F = E_0 - 3JSN + \frac{S}{2} \sum_{\mathbf{k}\alpha} \omega_\alpha(\mathbf{k}) + T \sum_{\mathbf{k}\alpha} \ln \left[ 1 - \exp \left( -\frac{S\omega_\alpha(\mathbf{k})}{T} \right) \right]$$

находился численно. Результаты показывают, что с ростом  $T$  область непланарной структуры  $a$  на фазовой диаграмме  $jS - h$  уменьшается как за счет перенормировки поля насыщения, так и вследствие стабилизации структур  $b, c$  и  $d$ . Интервалы  $\Delta h$  устойчивости структур  $f, h, b, c, d, a$  при разных значениях нормированной температуры  $t = T/S\omega_*$  представлены в таблице ( $jS = 0.1$ ). Видно, что конфигурации  $c, d, b$  возникают, если  $t$  соответственно равно примерно 0.05, 0.15 и 0.20, а полевой интервал конфигурации  $a$  с ростом температуры уменьшается. Что касается  $h$ -конфигурации, то  $\Delta h$  сначала увеличивается до значения 0.05, а затем с дальнейшим ростом  $T$  также уменьшается.

**Температурная зависимость нормированных полевых интервалов  $\Delta h_a, \Delta h_b, \Delta h_c, \Delta h_d, \Delta h_f, \Delta h_h$  соответствующих конфигураций  $a, b, c, d, f, h$  при  $jS = 0.1$  ( $t = T/S\omega_*$ )**

$t$	$\Delta h_f$	$\Delta h_h$	$\Delta h_b$	$\Delta h_c$	$\Delta h_d$	$\Delta h_a$
0	0.263	0.032	—	—	—	0.695
0.05	0.267	0.048	—	0.015	—	0.648
0.10	0.269	0.049	—	0.039	—	0.563
0.15	0.270	0.050	—	0.040	0.025	0.473
0.20	0.271	0.037	0.013	0.039	0.055	0.374

## 4. ЗАКЛЮЧЕНИЕ

В работе изучены равновесные состояния с различной конфигурацией спинов, расположенных в треугольных слоях гексагональной решетки. Показано, что в соединениях типа  $VBr_2$ ,  $VCl_2$  квантовые эффекты конкурируют с эффектами, обусловленными межплоскостным антиферромагнитным взаимодействием. В области  $H < H_1$   $f$ -планарная конфигурация со структурой типа шестилучевой звезды стабилизируется как межплоскостным обменом, так и квантовыми флуктуациями; в промежуточной области  $H_1 < H < H_5$  планарные конфигурации  $b, d, e$  стабилизируются квантовыми флуктуациями, а непланарные конфигурации зонтичного типа в области  $H > H_5$  — межплоскостным обменом. Магнитные переходы в критических точках, за исключением  $H = H_3$ , не являются непрерывными: кривая намагничивания имеет небольшие скачки. Найдена конечная область полевого интервала, где устойчива коллинеарная фаза. Показано также, что промежуточные по полю спиновые конфигурации дополнительно стабилизируются тепловыми флуктуациями.

В заключение отметим: известные к настоящему времени соединения типа  $ACrO_2$  ( $A = H, Li, Na$ ) также состоят из треугольных слоев, на которых ниже  $T_N$  гейзенберговские спины образуют 120-градусную структуру [19, 20, 12]. Однако в отличие от соединений типа  $VX_2$  треугольные слои расположены друг относительно друга ромбоэдрически (пространственная группа  $R\bar{3}m$ ). В связи с этим система фрустрирована не только в плоскости, но и в третьем направлении, что приводит к дополнительному вырождению классических структур [21, 22]. Мы полагаем, что в соединениях типа  $ACrO_2$   $f$ -конфигурация, частично стабилизируемая в соединениях типа  $VX_2$  обменной связью между слоями, едва ли реализуется при каких-либо значениях  $j$ , в то время как планарные конфигурации  $b, d$  и  $e$  еще более стабилизируются квантовыми флуктуациями.

Авторы благодарны Растелли и Тасси за присылку оттиска статьи [16].

## Литература

1. D. H. Lee, J. D. Joannopoulos, J. W. Negele, and D. P. Landau, *Phys. Rev. B* **33**, 450 (1986).
2. H. Kawamura, *J. Phys. Soc. Jap.* **56**, 474 (1987).
3. L. P. Regnault and J. Rossat-Mignod, in *Magnetic Properties of Layered Transition Metal Compounds*, ed. by L. J. De Jongh, Kluwer, Dordrecht, Netherlands (1990), p. 271.
4. E. Rastelli, A. Tassi, A. Pimpinelli, and S. Sedazzari, *Phys. Rev. B* **45**, 7936 (1992).
5. H. Shiba and T. Nikuni, in *Recent Advances in Magnetism of Transition Metal Compounds*, ed. by A. Kotani and N. Suzuki, World Scientific (1993), p. 372.
6. J. Wosnitzer, R. Deutschmann, H. V. Löhneysen, and R. K. Kremer, *J. Phys.: Condens. Matter* **6**, 8045 (1994).
7. M. E. Zhitomirsky, O. A. Petrenko, and L. A. Prozorova, *Phys. Rev. B* **52**, 3511 (1995).
8. К. С. Александров, Н. В. Федосеева, И. П. Спевачова, *Магнитные фазовые переходы в кристаллах*, Наука, Новосибирск (1983), с. 1.
9. H. Kadowaki, K. Ubukoshi, and K. Hirakawa, *J. Phys. Soc. Jap.* **54**, 363 (1985).
10. H. Kadowaki, K. Ubukoshi, K. Hirakawa et al., *J. Phys. Soc. Jap.* **56**, 4027 (1987).
11. K. Takeda, K. Ubukoshi, T. Haseda, and K. Hirakawa, *J. Phys. Soc. Jap.* **53**, 1480 (1984).
12. N. Kojima, K. Ito, I. Mogi et al., *J. Phys. Soc. Jap.* **62**, 4137 (1993).

13. I. Yamada, K. Ubukoshi, and K. Hirakawa, *J. Phys. Soc. Jap.* **53**, 381 (1984).
14. P. С. Гехт, *УФН* **159**, 261 (1989).
15. A. V. Chubukov and D. I. Golosov, *J. Phys.: Condens. Matter* **3**, 69 (1991).
16. E. Rastelli and A. Tassi, *J. Phys.: Condens. Matter* **8**, 1811 (1996).
17. M. Niel, C. Cros, G. Le Flem et al., *Physica B + C* **86-88**, 702 (1977).
18. J. J. M. Franse, *JMMM* **90-91**, 20 (1990).
19. J. L. Soubeyroux, D. Fruchart, J. C. Marmeggi et al., *Physica Status Solidi A* **67**, 633 (1981).
20. J. Ajiro, K. Kikuchi, S. Sugiyama et al., *J. Phys. Soc. Jap.* **57**, 2268 (1988).
21. E. Rastelli and A. Tassi, *J. Phys. C: Solid State Phys.* **19**, L423 (1986).
22. С. С. Аплеснин, P. С. Гехт, *ЖЭТФ* **96**, 2163 (1989).